

Szitándoldatok: heksagonal, interstitialis

pl.:

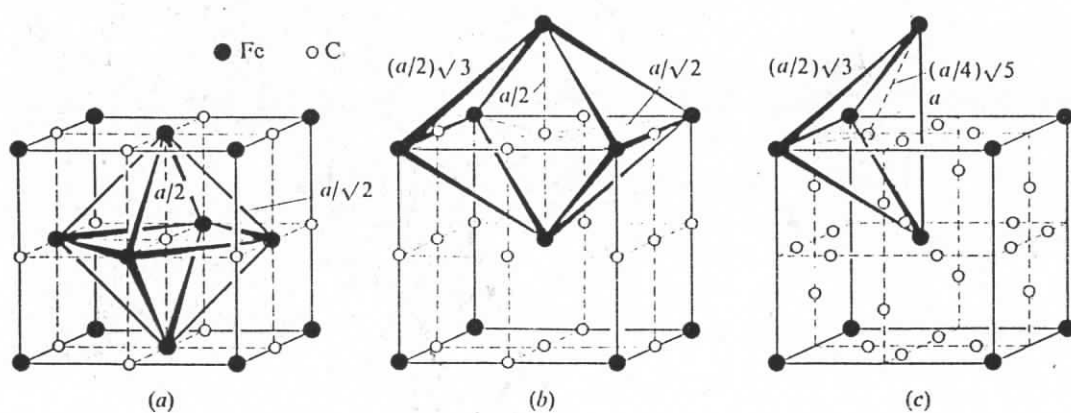


Fig. 6.7. Interstitial lattice sites for carbon in iron. (a) octahedral interstices in γ -(fcc) iron; (b) octahedral (c) tetrahedral interstices in α -(bcc) iron.

IS : alkotók közötti méretkülönbség nagy.

Lengyel a nitándoldhatóság tartománya:

pl.: Al-Fe $\leq 0.03 \text{ at\%}$

Cu-Zn $\leq 32\%$

Cu-Ni teljes oldhatóság - ez nem gyakorítva!

Lehetnek rendezett v. rendezetlen oldatok.
↳ rendszáni rend
homogén rend \rightarrow superáll.

Elsődleges nitándoldatok: tinta elemekben oldódik
vagy más elem v. elemek - fázisdiagram
nélküli elhelyezkedő oldatok.

Szilárd-Hill-El. exp.: nephelinos törzse

(Hume-Rothery működési eljárás. mér. ksa.)

o.) Fürkai magasított tiszta op.vál. reakcióval:
dekl. rendszerű problémája - meggyőző finomozási
szem minden olyan megtoldott.

Üz.: E_b kisid: eh. nem minden az akciós el-
rendszere.

Pl.: Na bcc - hcp mér. szabályosítás (szekv.
ennek átalakulás hője E_b/1000.

Hume-Rothery működési empirikusán; eljárás:
nélküldettségi

1.) Minimális El.

Na az oldható atomok minimális hője,

$$\delta = \frac{|\tau_B - \tau_A|}{\tau_A} > 15\%, \text{ abban az oldhatóság körül -}$$

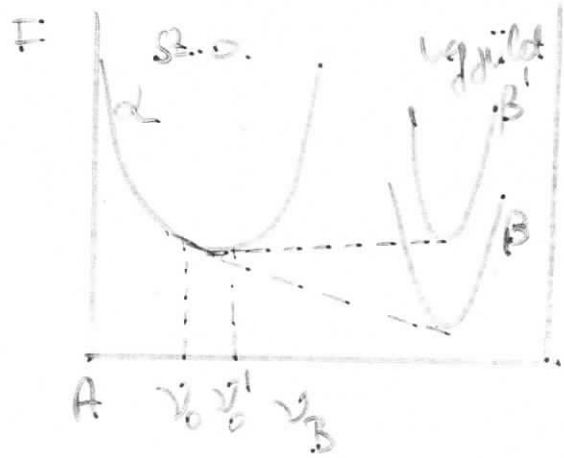
törött.

(A jó teljesen a minősítőkön való
mérődőleges idézet "spá" k. hosszú:
legnövekszik mérő
meg az oldhatóság
igot.)

2.) Elektonegativitás merepe

Stabil kötésben fájók belpontos konzerváció
az el. töltések növekedéséig.

Ha pl. B elektonegativitása nagyobb A-nál,
akkor várható A_xB_y vegyület keletkezése.



A és B Csomagelosztá-
val $E_{FA} = E_{FB}$

E_{FA} az A elektonegati-
vitásával kapcsolatos:

$$\epsilon \approx (E_{VA} - E_{VB})^2$$

belpontos

3.) Elektronkoncentrációs merepe

Kísérletek megrutatották: az eggyik leplézőszabály
tengenő a nö-hatású nemzetekből az el. konc.
vegyületek elektronok részére /atom: e/a

$$e/a = Z_A(1 - v_B) + Z_B v_B$$

Különösen jó IB témelek működési elvára

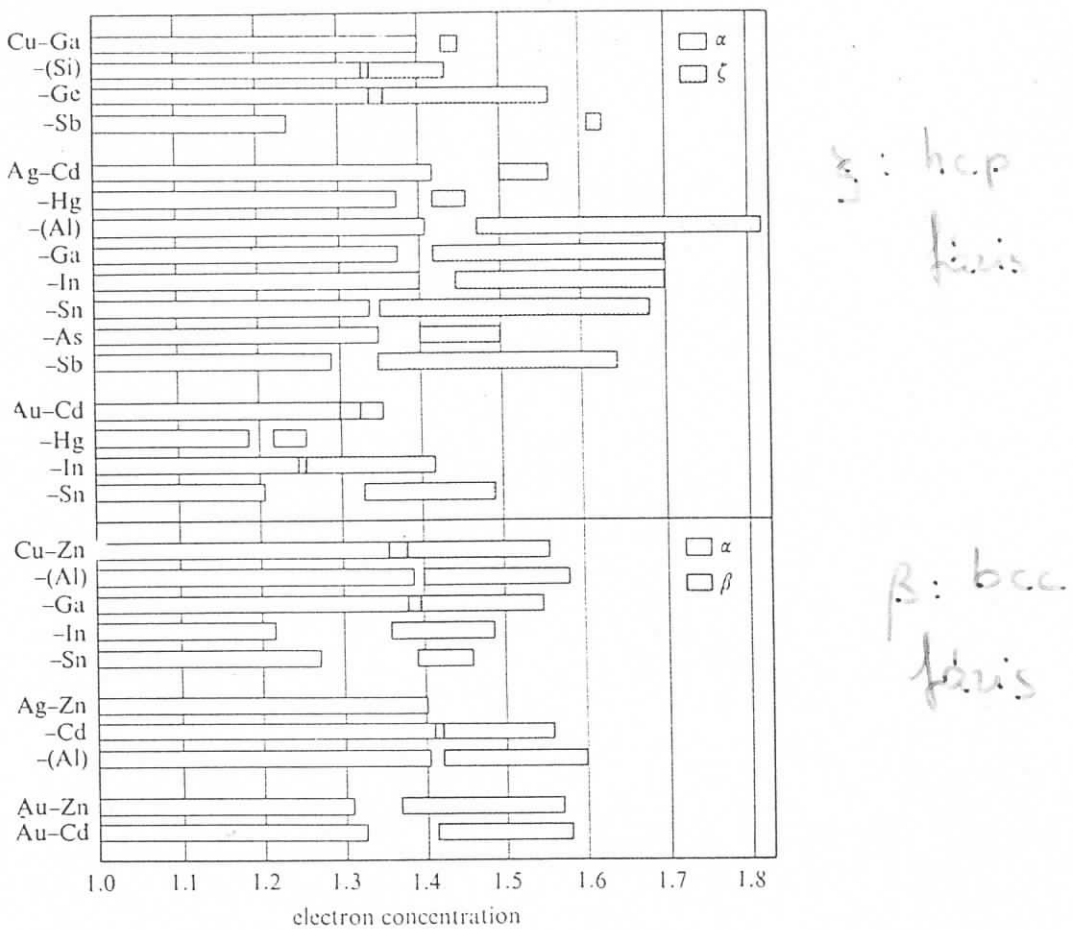


Fig. 6.19. Extent of the phases α (primary solubility), ζ and β for solid solutions of Cu, Ag and Au with B-metals. After [2.1].

- Cu-Sn is Cu-In közöttük a bcc-vel követett oldatok magasabb e/a-t érnek el, mint a hcp-vel.
- Ag- és Cu-alapiaidők 1.4 közöttben ér véget az elszigetelés nö. (Cu-nál a minőségi nappal!) Au-alapiaidők 1.2 - 1.3.

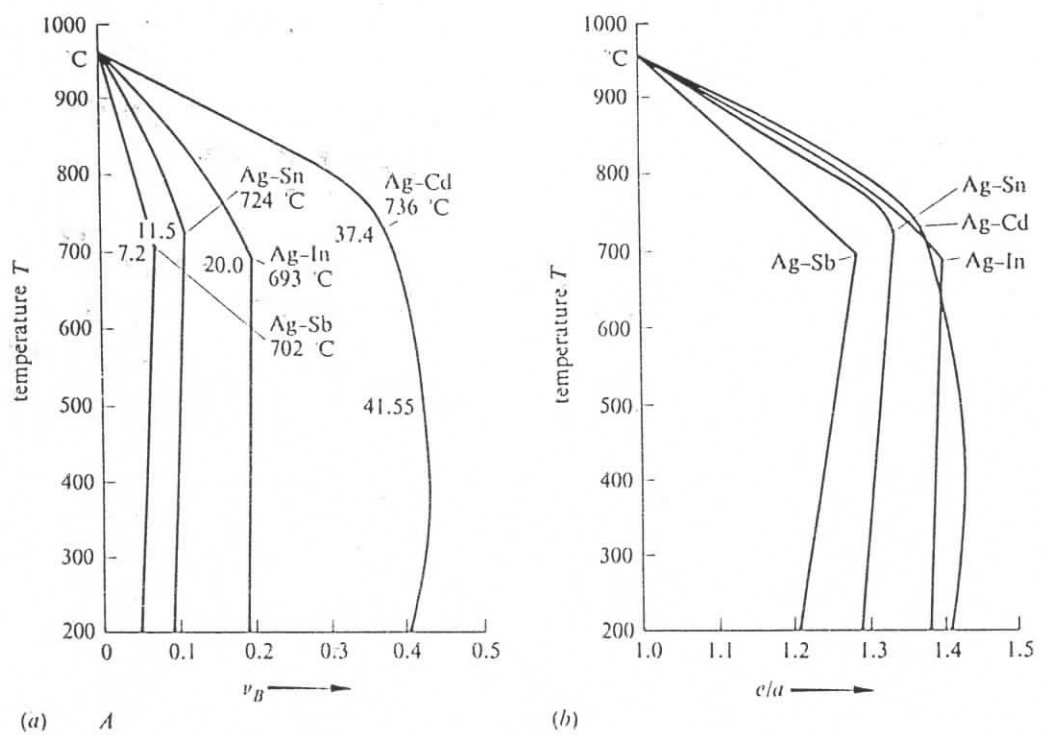
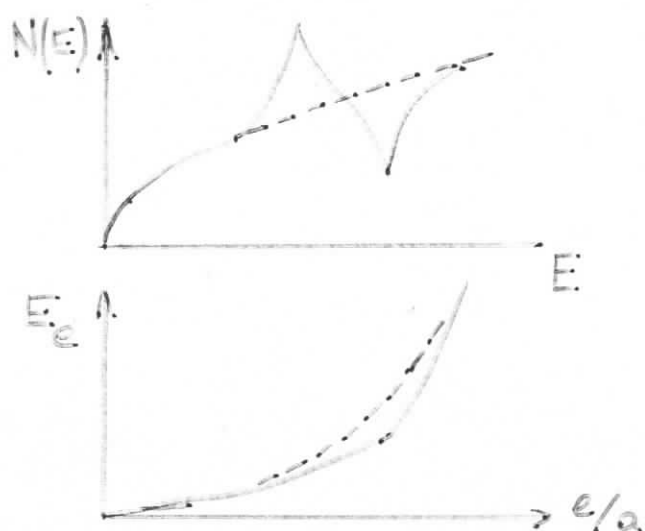


Fig. 6.18. Extent of the α -phase in silver solid solutions (a) plotted against mole fraction; (b) plotted against electron concentration.

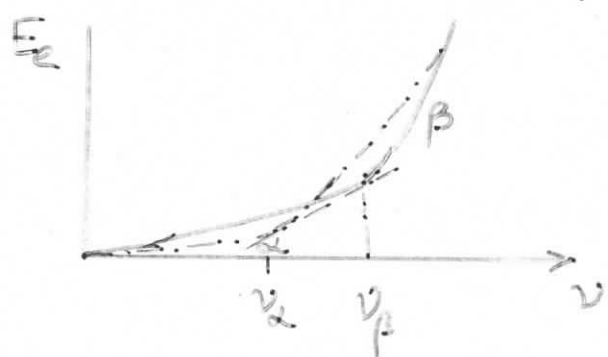
$$c/a = Z_A (1 - \nu_B) + Z_B \nu_B$$

H. Jones (1937).

- 1.) Merőszáv közelítében: Brillouin-zóna az oldalszál nem változik, $N(E)$ ellapottínyeg az oldó atomok nem változik, az egyszerűbb töredés a vezetők mennyisége van.
- 2.) A körímetaból el. kip attributus török fémről ötözetekre.



$$E_c = \int_0^{E_f} E \cdot N(E) dE$$



$N(E)$ -ben csics, ahol a Fermi fel. érinti a Br.-zóna határát:

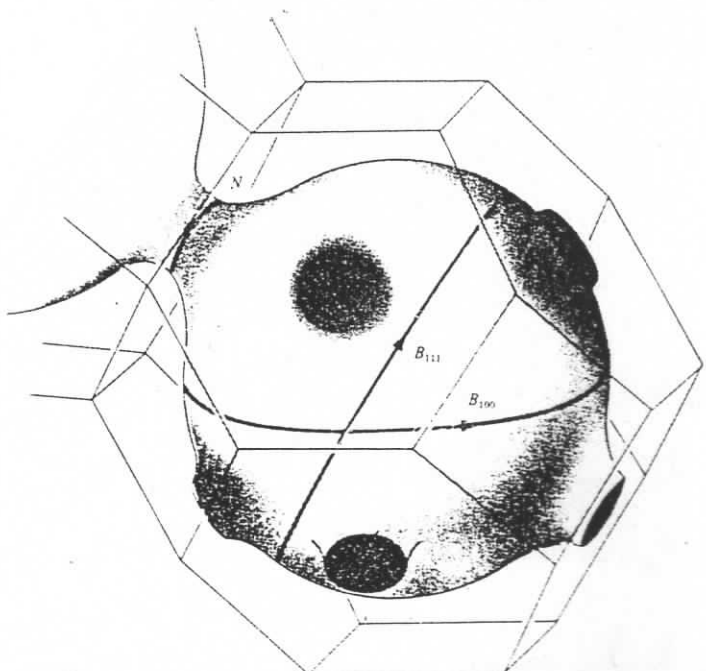


Fig. 6.22. Fermi body of copper in the first Brillouin zone with 'necks' N and 'bellies' of different circumference (B_{111} and B_{100}) [1.1] after Dinnard

Problematika:

- 1.) Randerák összefoglaló → nem plausibilis mű...
Előírható-e a török finanszírozásának?
Bragg-refl., Br. zárási, tiltott színű lencse.
- 2.) Menzelikus: a tiltott színök a Br. zárástávon nem fellelhetők az összetételekben.
Z. végzettségi atom L végzettségi módszerben
nem Z elektromos ad a hom. diffrakcióz;
szöglél előbb (Z-1) d. áng. kölcsönös
kont. Ezel a részleges állapotot a rész-atom
vannak a rész-tetőjéről kiágyazott állapotok,
így a E_F en. (Fermi-fönt) közelítés a
rész felé nélkül a konc. közelítéssel.
A közelítés eredményt, mint a menetben így:

Atomvärmef. vid kontaktprocess

A 15% -os valószínűségű, a többi 85% minőségi
előszöröndözéshez köthető hosszúságú.

$$\text{Sejtátmérje: } d_s = \left(\frac{3\pi}{4\pi} \right)^{1/3} \text{ (Léptekkörök)}$$

Misfit-parameter:

$$\delta = \frac{\Delta d_i}{d_i}$$

Rugós. energia ejt. atom oldásával: $E_S = G_A S \cdot \delta^2$
(G_A : alap rugós. mér. ért.)

Ha az E_S -t veszi ki E_m -nek = rugós. oldat-
modellrel, akkor a T_c kritikus hőmérséklet:

$$2kT_c = E_S$$

Ha $T_c > T_{mA}$ (\approx fizika A op. rész), azaz

$$\text{hőmérsékleten oldhatóozó} \Rightarrow \underline{\delta \geq \sqrt{\frac{kT_{mA}}{3G_A \Omega}}}$$

$$G_A S \approx 30 k_{mA} \Rightarrow \underline{\delta \approx 10^{-6}}$$

Problémák:

- A és B atomokat keverve ejt. hő: rész: elektron. domén → hő-oz. változás. Atomfolyadék függő!
- hőcs. AA; AB vagy BCS pár, nöt az inhomog.
- Első: ellen. turbulens, nem gyakorl. a kapcsolat
- más. atomokat minősítik.

Werkstoffe: wie legen es sich?

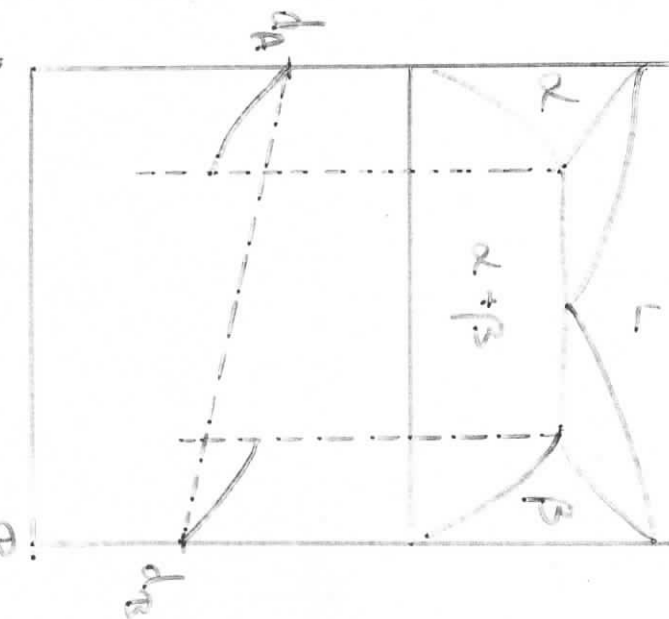
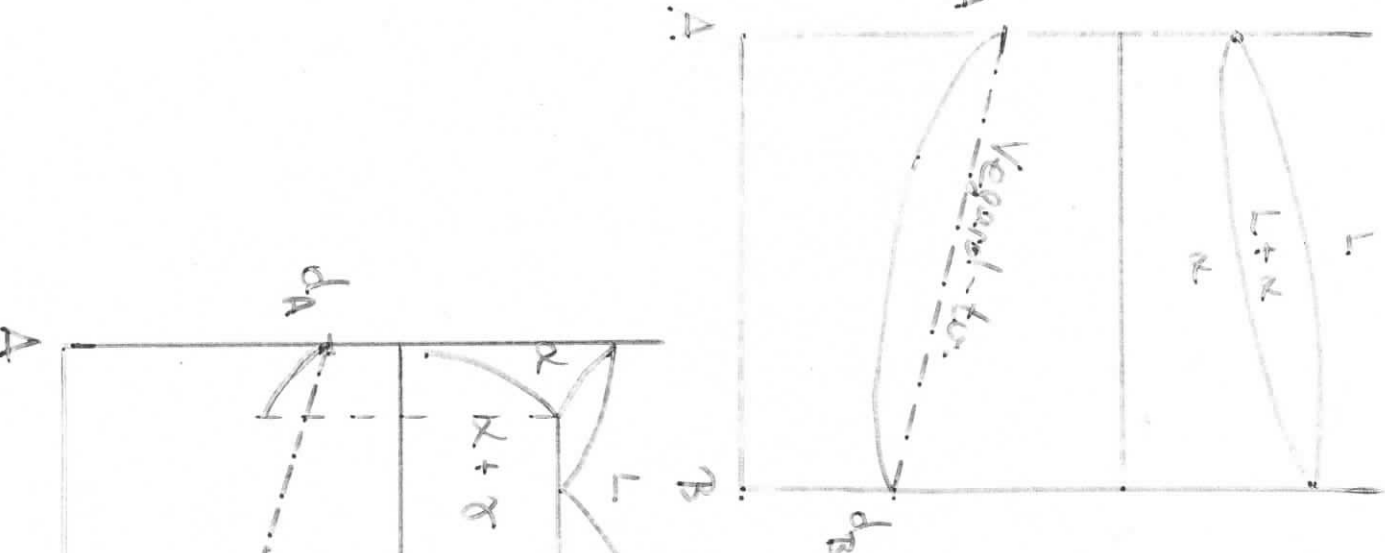
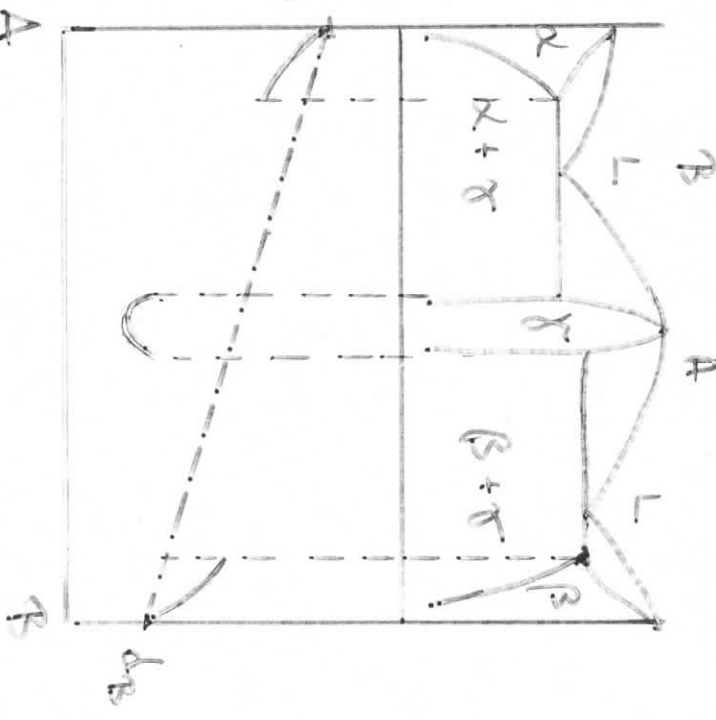
Pl.: 2. u. - 4. Sch. nach Grajeda

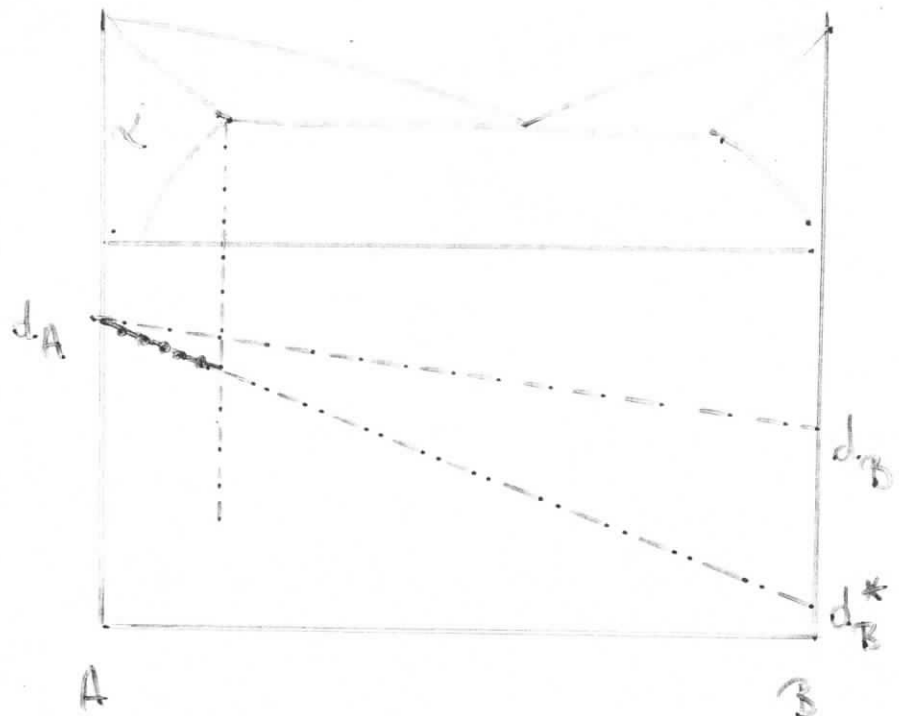
monolithisch

$$\tan d_1 = 0.2664 \text{ nm} ; d_2 = 0.28129 \text{ nm}$$

$$\text{tiefoptisch } d_3 = 0.30762 \text{ nm}$$

Vergund - Lösung: (ionische Beweglichkeit ist!)





[H.W. King , J. Mater. Sci. 1. (1966)
79-90]

$$\delta = \frac{1}{d} \left(\frac{\partial d}{\partial c} \right) \quad \text{lineári: } \underline{\text{meretfaktor}}$$

$$\frac{1}{2} \left(\frac{\partial R}{\partial c} \right) \quad \text{terefogt: } \sim -$$

Szilárdoldott alkotó elemek
atom-mérések kapcsolata

$$\eta = \frac{1}{G} \left(\frac{\partial G}{\partial c} \right) \quad \underline{\text{modulurfaktor}}$$

kötésenösszegtől függh, elektro-
nához elektronengelytől.

Szilárdoldott tulajdonságok eredhetőnek
meg depechők.

DISZLOKÁCIÓK

Képlékeny (műanyag) alakultással:



Tengely: szilárd ag. + ok lezárás nincs:

- kristályreakciók + változás
- töréspontváltozás

Van viszont: - szilárdnövekedés nélkül
- szemcserereakció + változás

Lúrószíkok, csúszási sávok, vonalak
(Slip planes, slip bands, lines)



Fig. 4.12. Slip lines on an aluminium crystal (by kind permission of G. Wyon).

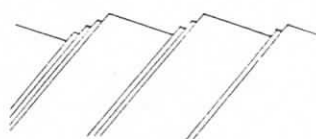


Fig. 4.13. Diagrammatic representation of slip bands resolved into groups of closely spaced slip lines.

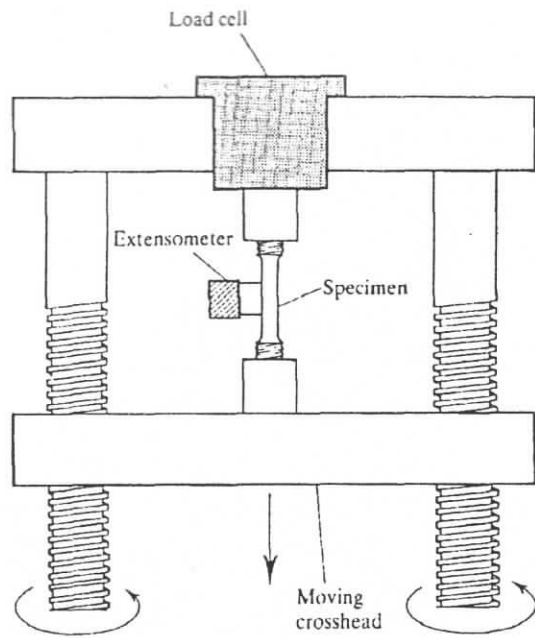


Figure 1.5

A schematic of a tension test. The sample is elongated at a specified rate, and the force required to produce a given elongation is measured via the load cell. Elongation is measured by an extensometer or similar device. Knowing sample dimensions, the stress and strain can be calculated by measurement of F and δl .

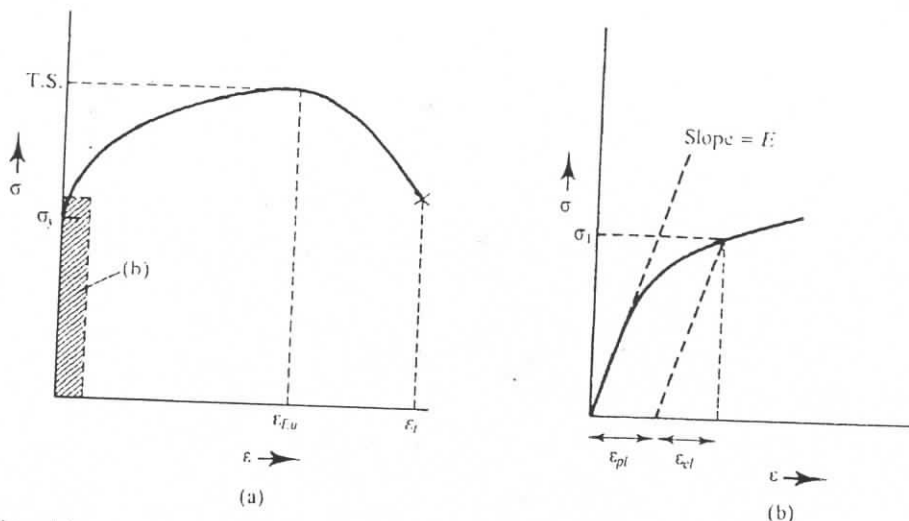
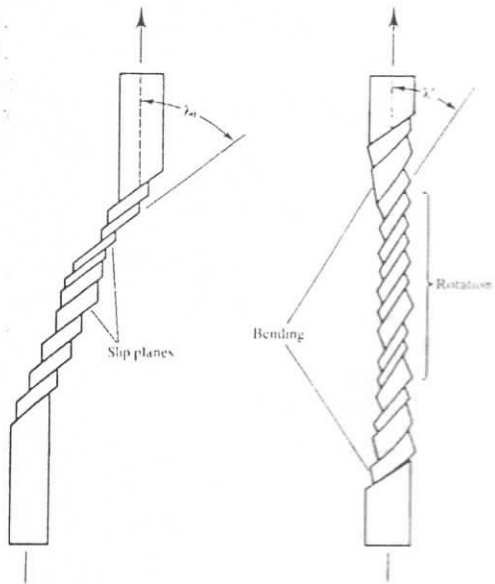


Figure 1.6

A schematic tensile stress-strain curve. (a) Following linear elastic deformation, plastic flow commences at a stress approximately equal to the yield strength, σ_y . Following yielding, the material work hardens; the stress required to continue deformation increases with increasing strain. The maximum engineering stress a material can withstand in a tensile test is the tensile strength, T.S. The strain at T.S. ($= \epsilon_{Eu}$) represents the maximum strain for which plastic deformation is uniform along the sample length. For strains greater than this, stress decreases; the phenomenon is associated with nonuniform material deformation (necking). Fracture, denoted by X, takes place at the engineering strain, ϵ_f . (b) An expanded view of the low-strain (shaded) region of (a). Plastic flow initiates at a stress less than σ_1 . At σ_1 , the total strain is the sum of the elastic (ϵ_{el}) and plastic (ϵ_{pl}) components; ϵ_{el} is given by σ_1/E . It can be found graphically by subtracting from the total strain the strain not recovered; the latter is obtained by drawing a line of slope E downward from σ_1 . The plastic, or permanent strain is represented by the intersection of the unloading line with the strain axis. The 0.2% yield strength can be obtained by offsetting a strain of 0.002 on the strain axis, and drawing a line parallel to the initial loading line. The intersection of this line with the stress-strain curve defines the stress required to cause a permanent strain of 0.002.



Eigenschaften: stabilität - viskosität
 hexagonal (001) silicium 
 stabile Winkel:

face centered (111) silicium $\langle 110 \rangle$ Winkel:

Kritischer Dehnungsfestigkeit

(critical resolved shear stress $RSS = 10^5 - 10^6$ GPa)

Atommodell

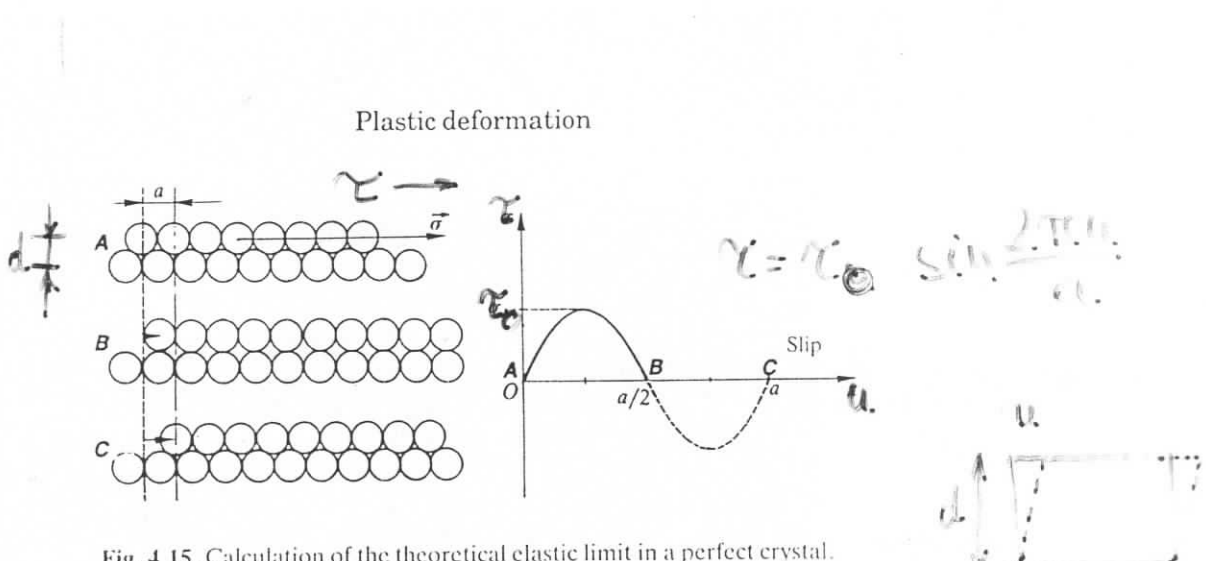


Fig. 4.15. Calculation of the theoretical elastic limit in a perfect crystal.

Kin rugalmass nyomás $\tau = G \gamma = G \frac{u}{d}$.

$$\tau = \tau_0 \sin \frac{2\pi u}{a} \approx \tau_0 \frac{2\pi u}{a} \approx G \frac{u}{d}$$

$$\tau_0 = \frac{G}{2\pi} \rightarrow \tau_{ker} = \tau_0$$

$$\tau_{ker} \approx \frac{G}{E} \left(\frac{E}{3G} - 1 \right) \text{ (kelet gáthoz)}$$

Dislokációk :

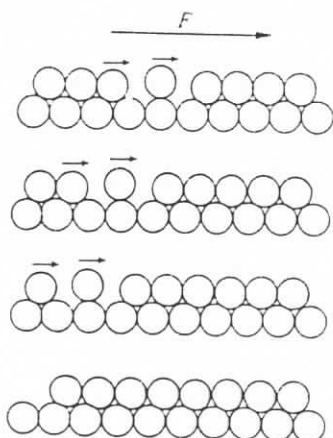
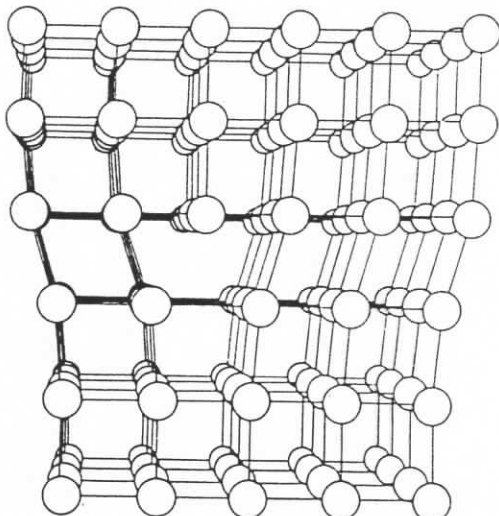


Fig. 4.18. The glide of a dislocation represented by a missing atom. Under the action of an external stress, the atoms around the dislocation slip to the right. The dislocation moves to the left and eventually disappears, leaving a surface step with a depth equal to one interatomic spacing.

Mechanical properties



Alapító folyamat kepl. alakv.-nál :

- minden egy meghatározott kristályrács (csúszás)
- egy meghatározott elemi transzicidővel: b Burgers-vektor
- meghat. irányában (csökkenő irány)

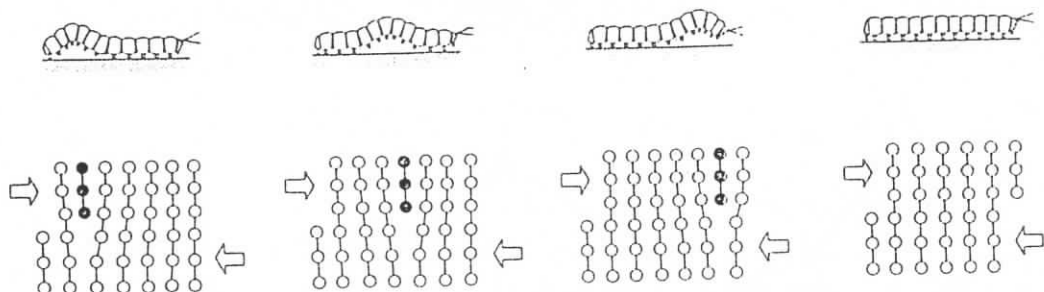


Figure 7.3 Representation of the analogy between caterpillar and dislocation motion.

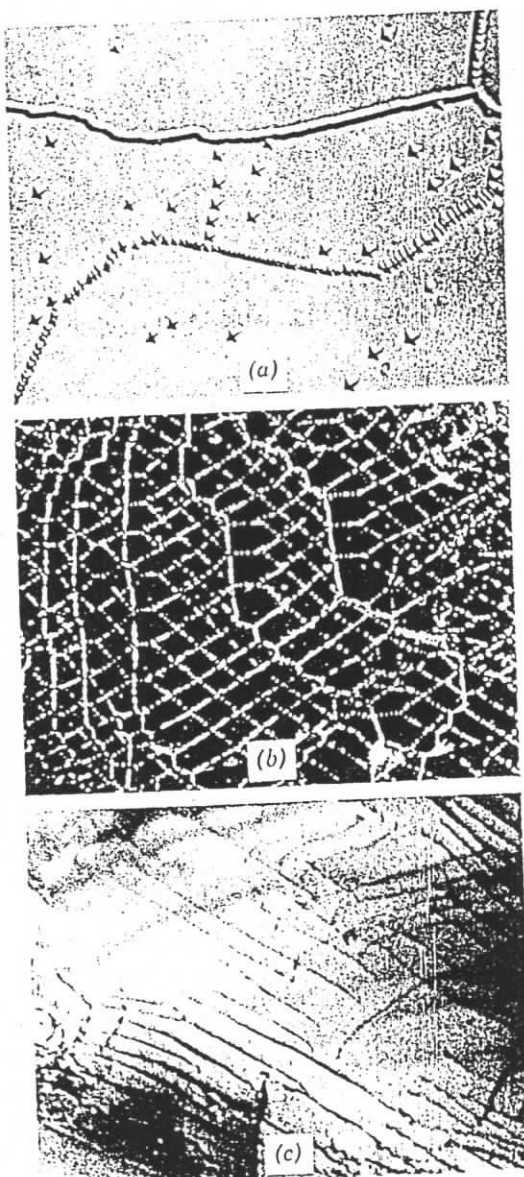


Figure 4.23 Photographs of dislocations. (a) Etch pits in LiF (290 \times). (Courtesy of W. G. Johnston, General Electric Company.) (b) Dislocations in sodium chloride decorated with silver (405 \times). (Courtesy of S. Amelinckx, S. C. K. Mol-Denk, Belgium.) (c) Electron transmission photograph of dislocations in niobium single crystal (11,600 \times). (Courtesy of C. S. Tedmon, M.I.T.)